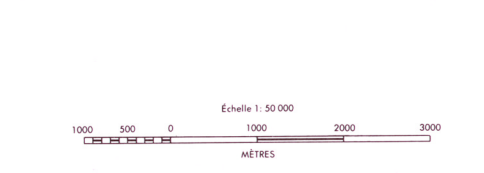
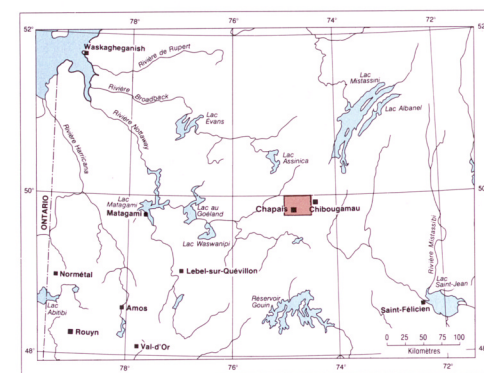


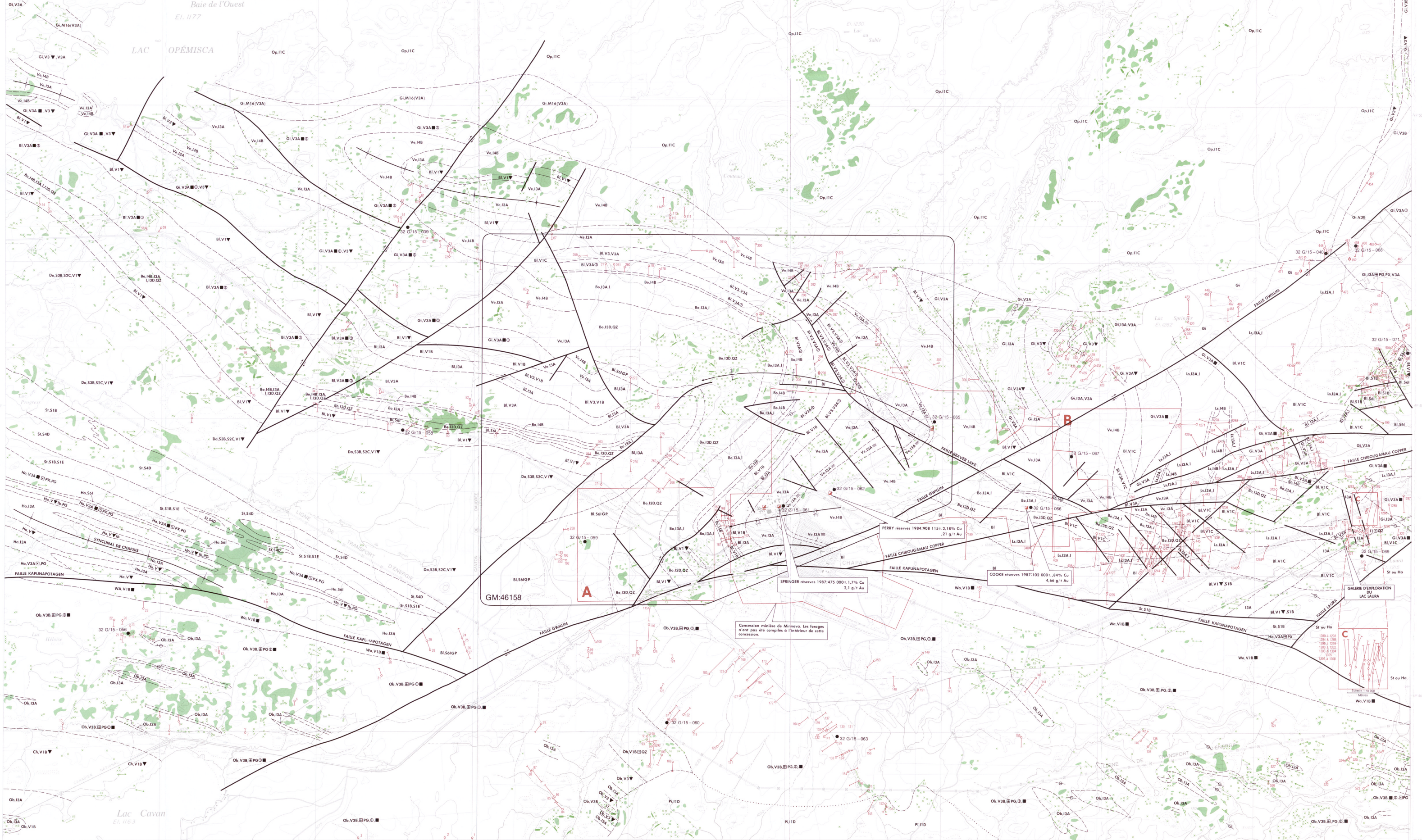
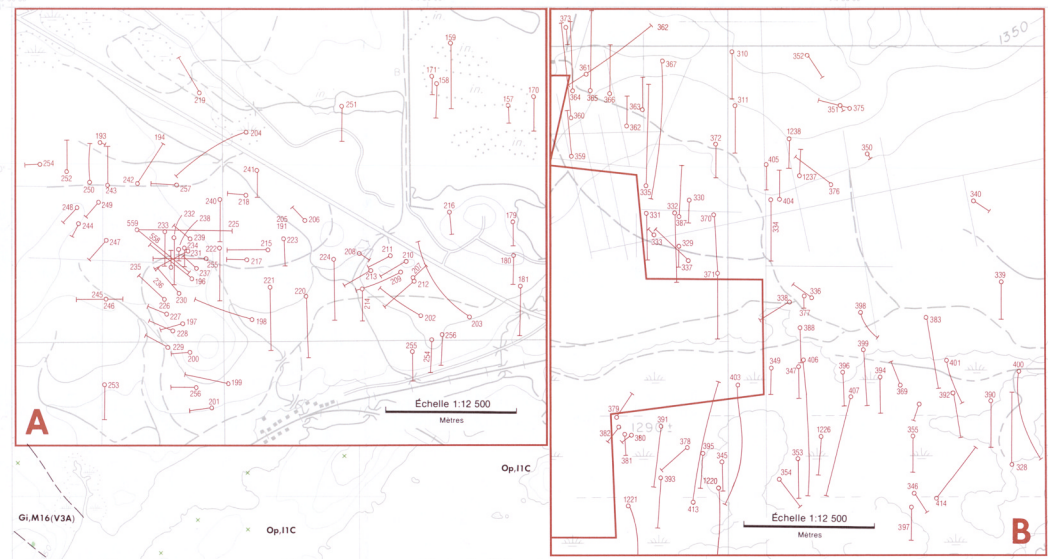
- LITHOSTRATIGRAPHIE**
PROTÉROZOÏQUE
- ROCHES INTRUSIVES**
- Diaké de diabase
- ARCHÉEN**
- ROCHES INTRUSIVES**
- Op PLUTON D'OPÉMISCA: granodiorite; monzodiorite à monzodiorite quartzifère
 - Ls INTRUSIONS DU LAC SPRINGER: leucogabbro; pyroxénite et gabbro pyroxénique
 - Ru PLUTON DE RUSH: tonalite
 - Pi PLUTON DE PRESQU'ÎLE: tonalite
 - Chi PLUTON DE CHÉBOUGAMAU: tonalite et leucotonalite; diorite quartzifère; diorite et méladiorite
- GROUPE D'OPÉMISCA**
- Ha FORMATION D'HADY: tuf (non différencié), tuf à blocs mafiques; andésite-basalte; conglomérat monogénique; tuf chertueux; grès lithique; argille; gabbro
 - St FORMATION DE STELLA: conglomérat polygénique; grès feldspathique; grès lithique; argile
 - Da FORMATION DE DAUBRÉE: wacke feldspathique; arkose; tuf felsique
- Discordance**
- ROCHES INTRUSIVES**
- Cc COMPLEXE DE CUMMINGS
- Filons-couche de Bourbeau: diorite à quartz; ferrogabbro à quartz; leucogabbro; pyroxénite
- Filons-couche de Ventures: gabbro; pyroxénite
- Filons-couche de Roberge: pyroxénite; péridotite; dunite
- Cld COMPLEXE DE LAC DORÉ: granophyre; gabbro à gabbro anorthositique; ferrogabbro; pyroxénite; anorthosite
- GROUPE DE ROY**
- Bd FORMATION DE BORDELEAU: arénite feldspathique et conglomérat polygénique
 - Bl FORMATION DE BLONDEAU: rhyolite; rhyodacite; roches volcaniques mafiques (non différenciées); andésite; andésite basaltique; basalte; tuf chertueux; tuf felsique; gabbro; diorite; grès feldspathique; sédiment; grès; argille
 - Gi FORMATION DE GILMAN: andésite; basalte-andésite; tuf mafique; tuf felsique; rhyolite; gabbro; amphibolite; diorite; argille; grès lithique
 - Wo FORMATION DE WACONICHE: tuf felsique; rhyodacite massive; rhyolite massive
 - Ob FORMATION D'OBATOGAMAU: basalte porphyrique; gabbro; rhyolite; tuf mafique
 - Ch Membre de Chrissie: tuf rhyolitique
- SYMBOLES CONVENTIONNELS**
- Affleurement: a) grand; b) petit
 - Contour géologique: a) incertain; b) déduit de levés géophysiques
 - Stratification avec sommet non déterminé: a) inclinée; b) verticale
 - Stratification avec sommet déterminé: a) renversée; b) verticale; c) pendage non mesuré
 - Schistosité S₁, verticale
 - Fautes régionales: a) pendage non connu; b) avec sens du décrochement
 - Pli: a) anticlinal; b) synclinal; c) antiforme synclinal; d) synforme anticlinal
 - A-A Coupe structurale représentée sur la carte n° 2156 F
 - Contours de niveau et cotes en pieds au-dessus du niveau de la mer
- La déclinaison magnétique au centre de la feuille en 1989 est de 18°33' avec une variation annuelle croissante de 8,7.



GÉOLOGIE DE LA RÉGION DE CHÉPAÏS
FEUILLE DE CHÉPAÏS
32G/15

Géologie par: RÉMY MORIN, 1988 et 1989

MM 91-02
(Carte no 2156 A)



LITHOSTRATIGRAPHIE

PROTÉROZOÏQUE

- ROCHES INTRUSIVES**
- Op.11C Pluton d'Opémisca
 - Op.11C Grandiorite
 - Op.11C Monzonite à monzonite quartifère
 - Op.11C Intrusions du Lac Trenholm
 - Op.11C Gabbro
 - Op.11C Intrusions du Lac Springer
 - Op.11C Leucogabbro
 - Op.11C Pyroxénite et gabbro pyroxénique
 - Op.11C Pluton de Rush
 - Op.11C Tonalité
 - Op.11C Pluton de Presqu'île
 - Op.11C Tonalite
 - Op.11C Pluton de Chibougamau
 - Op.11C Tonalite et saucissonnée
 - Op.11C Diorite quartzifère
 - Op.11C Diorite et melanocrine
- ROCHES INTRUSIVES**
- Op.11C Tuf (non différencié)
 - Op.11C Tuf à blocs mafiques
 - Op.11C Andésite-basalte
 - Op.11C Conglomérat monogénique
 - Op.11C Tuf chertueux
 - Op.11C Grès lithique
 - Op.11C Argilite
 - Op.11C Gabbro
 - Op.11C Formation de Stella
 - Op.11C Conglomérat polygénique
 - Op.11C Grès lithopathe
 - Op.11C Grès lithique
 - Op.11C Argilite
 - Op.11C Formation de Dalbrée
 - Op.11C Wacke lithopathe
 - Op.11C Arkose
 - Op.11C Tuf felsique
- ROCHES INTRUSIVES**
- Op.11C Complexe de Cummings
 - Op.11C Filon-couche de Bourbeau
 - Op.11C Diorite
 - Op.11C Diorite à quartz
 - Op.11C Ferrugabro à quartz
 - Op.11C Leucogabbro
 - Op.11C Pyroxénite
 - Op.11C Filon-couche de Venures
 - Op.11C Diorite
 - Op.11C Gabbro
 - Op.11C Pyroxénite
 - Op.11C Filon-couche de Roberge
 - Op.11C Pyroxénite
 - Op.11C Pentonite
 - Op.11C Dunite
 - Op.11C Complexe de Lac Doré
 - Op.11C Granophyre
 - Op.11C Gabbro à gabbro anorthositique
 - Op.11C Ferrugabro
 - Op.11C Pyroxénite
 - Op.11C Anorthosite

- ROCHES INTRUSIVES**
- Op.11C Dyke de diabase
 - Op.11C Pluton d'Opémisca
 - Op.11C Grandiorite
 - Op.11C Monzonite à monzonite quartifère
 - Op.11C Intrusions du Lac Trenholm
 - Op.11C Gabbro
 - Op.11C Intrusions du Lac Springer
 - Op.11C Leucogabbro
 - Op.11C Pyroxénite et gabbro pyroxénique
 - Op.11C Pluton de Rush
 - Op.11C Tonalite
 - Op.11C Pluton de Presqu'île
 - Op.11C Tonalite
 - Op.11C Pluton de Chibougamau
 - Op.11C Tonalite et saucissonnée
 - Op.11C Diorite quartzifère
 - Op.11C Diorite et melanocrine
- ROCHES INTRUSIVES**
- Op.11C Tuf (non différencié)
 - Op.11C Tuf à blocs mafiques
 - Op.11C Andésite-basalte
 - Op.11C Conglomérat monogénique
 - Op.11C Tuf chertueux
 - Op.11C Grès lithique
 - Op.11C Argilite
 - Op.11C Gabbro
 - Op.11C Formation de Stella
 - Op.11C Conglomérat polygénique
 - Op.11C Grès lithopathe
 - Op.11C Grès lithique
 - Op.11C Argilite
 - Op.11C Formation de Dalbrée
 - Op.11C Wacke lithopathe
 - Op.11C Arkose
 - Op.11C Tuf felsique
- ROCHES INTRUSIVES**
- Op.11C Complexe de Cummings
 - Op.11C Filon-couche de Bourbeau
 - Op.11C Diorite
 - Op.11C Diorite à quartz
 - Op.11C Ferrugabro à quartz
 - Op.11C Leucogabbro
 - Op.11C Pyroxénite
 - Op.11C Filon-couche de Venures
 - Op.11C Diorite
 - Op.11C Gabbro
 - Op.11C Pyroxénite
 - Op.11C Filon-couche de Roberge
 - Op.11C Pyroxénite
 - Op.11C Pentonite
 - Op.11C Dunite
 - Op.11C Complexe de Lac Doré
 - Op.11C Granophyre
 - Op.11C Gabbro à gabbro anorthositique
 - Op.11C Ferrugabro
 - Op.11C Pyroxénite
 - Op.11C Anorthosite

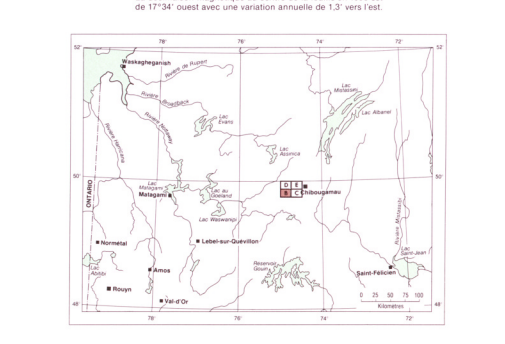
ROCHES INTRUSIVES

- Op.11C Complexe de Cummings
- Op.11C Filon-couche de Bourbeau
- Op.11C Diorite
- Op.11C Diorite à quartz
- Op.11C Ferrugabro à quartz
- Op.11C Leucogabbro
- Op.11C Pyroxénite
- Op.11C Filon-couche de Venures
- Op.11C Diorite
- Op.11C Gabbro
- Op.11C Pyroxénite
- Op.11C Filon-couche de Roberge
- Op.11C Pyroxénite
- Op.11C Pentonite
- Op.11C Dunite
- Op.11C Complexe de Lac Doré
- Op.11C Granophyre
- Op.11C Gabbro à gabbro anorthositique
- Op.11C Ferrugabro
- Op.11C Pyroxénite
- Op.11C Anorthosite

- ROCHES INTRUSIVES**
- Op.11C Dyke de diabase
 - Op.11C Pluton d'Opémisca
 - Op.11C Grandiorite
 - Op.11C Monzonite à monzonite quartifère
 - Op.11C Intrusions du Lac Trenholm
 - Op.11C Gabbro
 - Op.11C Intrusions du Lac Springer
 - Op.11C Leucogabbro
 - Op.11C Pyroxénite et gabbro pyroxénique
 - Op.11C Pluton de Rush
 - Op.11C Tonalite
 - Op.11C Pluton de Presqu'île
 - Op.11C Tonalite
 - Op.11C Pluton de Chibougamau
 - Op.11C Tonalite et saucissonnée
 - Op.11C Diorite quartzifère
 - Op.11C Diorite et melanocrine
- ROCHES INTRUSIVES**
- Op.11C Tuf (non différencié)
 - Op.11C Tuf à blocs mafiques
 - Op.11C Andésite-basalte
 - Op.11C Conglomérat monogénique
 - Op.11C Tuf chertueux
 - Op.11C Grès lithique
 - Op.11C Argilite
 - Op.11C Gabbro
 - Op.11C Formation de Stella
 - Op.11C Conglomérat polygénique
 - Op.11C Grès lithopathe
 - Op.11C Grès lithique
 - Op.11C Argilite
 - Op.11C Formation de Dalbrée
 - Op.11C Wacke lithopathe
 - Op.11C Arkose
 - Op.11C Tuf felsique
- ROCHES INTRUSIVES**
- Op.11C Complexe de Cummings
 - Op.11C Filon-couche de Bourbeau
 - Op.11C Diorite
 - Op.11C Diorite à quartz
 - Op.11C Ferrugabro à quartz
 - Op.11C Leucogabbro
 - Op.11C Pyroxénite
 - Op.11C Filon-couche de Venures
 - Op.11C Diorite
 - Op.11C Gabbro
 - Op.11C Pyroxénite
 - Op.11C Filon-couche de Roberge
 - Op.11C Pyroxénite
 - Op.11C Pentonite
 - Op.11C Dunite
 - Op.11C Complexe de Lac Doré
 - Op.11C Granophyre
 - Op.11C Gabbro à gabbro anorthositique
 - Op.11C Ferrugabro
 - Op.11C Pyroxénite
 - Op.11C Anorthosite

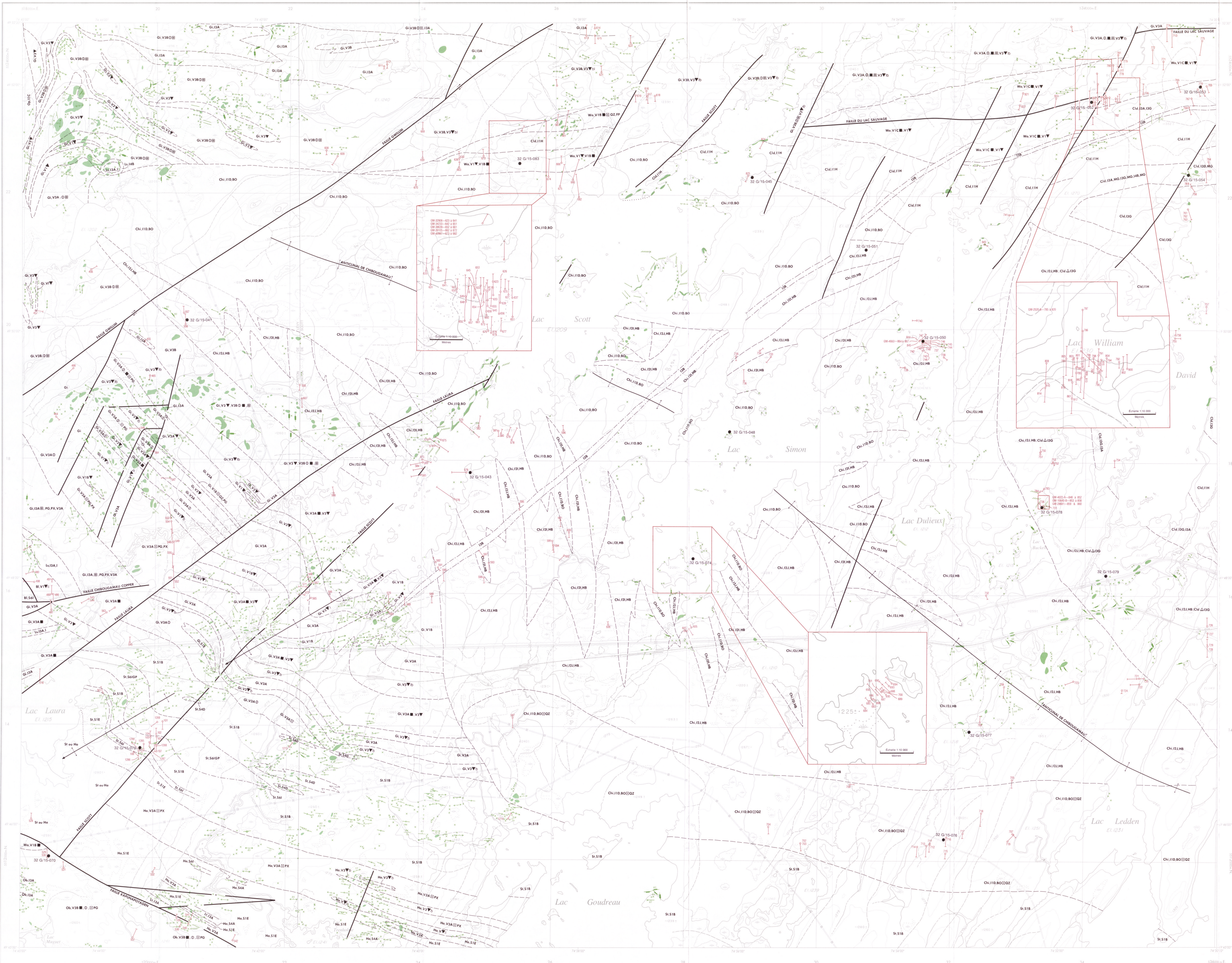
- SYMBOLES STRUCTURAUX, TEXTURAUX ET AUTRES**
- Op.11C Coarse
 - Op.11C Étalement des coussins
 - Op.11C Folie
 - Op.11C Massif
 - Op.11C Porphyrique (> 40%)
 - Op.11C Porphyrique (< 40%)
 - Op.11C Variés
 - Op.11C Bréchiforme
 - Op.11C Tuf à blocs
 - Op.11C Tuf lithopathe
 - Op.11C Tuf à lapillis
 - Op.11C Dunite
 - Op.11C Biotite
 - Op.11C Felspath
 - Op.11C Graphite
 - Op.11C Hornblende
 - Op.11C Magnetite
 - Op.11C Plagioclase
 - Op.11C Pyroxène
 - Op.11C Quartz
- SYMBOLES CONVENTIONNELS**
- Op.11C Affaiblissement (a) grand; (b) petit
 - Op.11C Contour géologique (a) incertain; (b) début de motif géographique; (c) existence présumée
 - Op.11C Stratification avec sommet déterminé (a) incliné; (b) renversé; (c) verticale; (d) pénétration
 - Op.11C Stratification avec sommet non déterminé (a) incliné; (b) verticale; (c) pénétration non mesuré
 - Op.11C Schistosité S₁ (a) incliné; (b) verticale; (c) pénétration non mesuré
 - Op.11C Schistosité S₂ (a) incliné; (b) verticale; (c) pénétration non mesuré
 - Op.11C Schistosité S₃ (a) incliné; (b) verticale; (c) pénétration non mesuré
 - Op.11C Localisation et dispersion d'une tache de gîte
 - Op.11C Plan axial vertical
 - Op.11C Linaison (a) surface S₁ (L₁); (b) surface S₂ (L₂); (c) surface S₃ (L₃)

DÉCLINAISON MAGNÉTIQUE



GÉOLOGIE DE LA RÉGION DE CHAPAIS

FEUILLE LAC CHAPAIS
32 G/15 - 200 - 0101
Géologie par: RÉMY MORIN, 1988 et 1989



LITHOSTRATIGRAPHIE

PROTÉROZOÏQUE

ROCHES INTRUSIVES

- IB** DYKE DE DIABASE
- ICH** Granodiorite
- IM** Monodiorite à monodiorite quartzifère
- IL** INTRUSIONS DU LAC TRENOLME
- ISA** Gabbrro
- LA** INTRUSIONS DU LAC SPRINGER
- LAB** Pyroxénite et gabbro pyroxénique
- LR** PLUTON DE RUSH
- LI** Tonaille
- PI** PLUTON DE PRESQU'ÎLE
- TI** Tonaille
- CH** PLUTON DE CHIROUGAMAU
- HI** Tonaille et leucotonalite
- DI** Diorite quartzifère
- DI2** Diorite et melanodiorite

ROCHES INTRUSIVES

- HO** FORMATION D'HAUY
- VV** Tuf (non différencié)
- V3** Tuf à blocs mafiques
- VA** Andésite-basalte
- S4A** Conglomerat monogénique
- V4** Tuf chertueux
- S1E** Gres lithique
- S4I** Argilite
- ISA** Gabbrro
- SI** FORMATION DE STELLA
- S4D** Conglomerat polygénique
- S1B** Gres feldspathique
- S1E** Gres lithique
- S4I** Argilite
- S4** FORMATION DE DAUBRÉE
- S1B** Wacke feldspathique
- SSC** Arkose
- V4V** Tuf felsique

ROCHES INTRUSIVES

- CC** COMPLEXE DE CUMMINGS
- B+** Filon-couche de Bourbeau
- DI2** Diorite
- DI2Q2** Diorite à quartz
- DI2Q3** Ferrogabbro à quartz
- ISA1** Leucogabbro
- LAB** Pyroxénite
- V+** Filon-couche de Ventures
- RI+** Filon-couche de Roberge
- LAB** Pyroxénite
- PI** Pnématolite
- DM** Dunite
- CD** COMPLEXE DE LAC DORÉ
- GH** Granophyre
- ISA** Gabbrro à gabbro anorthositique
- MD** Ferrogabbro
- LAB** Pyroxénite
- AD** Anorthosite

ROCHES INTRUSIVES

- Bd** FORMATION DE BORDELEAU
- IBS4A** Andésite feldspathique et conglomérat polygénique
- BI** FORMATION DE BLONDEAU
- V1B** Rhyolite
- V1C** Rhyodacite
- V2** Roches volcaniques mafiques (non différenciées)
- V2A** Andésite basaltique
- V2B** Basalte
- V2C** Tuf chertueux
- V1V** Tuf felsique
- ISA** Gabbrro
- ISA1** Leucogabbro
- DI2** Diorite
- S1B** Gres feldspathique
- S1** Sédiment
- S1** Gres
- S4I** Argilite
- GI** FORMATION DE GILMAN
- V2A** Andésite
- V2B** Basalte-andésite
- V2V** Tuf mafique
- V2W** Tuf basaltique
- V1V** Tuf felsique
- V1B** Rhyolite
- ISA** Gabbrro - leucogabbro
- M1A** Amphibolite
- DI2** Diorite
- S4I** Argilite
- S1E** Gres lithique
- WA** FORMATION DE WACONICHI
- V1V** Tuf felsique
- V1C** Rhyodacite massive
- V1B** Rhyolite massive
- OH** FORMATION D'OBOTOGAMAU
- II** Roches intrusives felsiques
- V2B** Basalte porphyrique
- ISA** Gabbrro
- V1B** Rhyolite
- V2V** Tuf mafique
- CH** Membre de Chénais
- V1B** Tuf rhyolitique

SYMBOLES STRUCTURAUX, TEXTURAUX ET AUTRES

- Croisement
- ⊥ Entrecroisement de couches
- ≡ Folie
- Massif
- ▨ Porphyrique (> 40%)
- ▩ Porphyrique (< 40%)
- ∗ Variolite
- △ Brecciforme
- ▽ Tuf à blocs
- ▽ Tuf feldspathique
- ▽ Tuf à lapillis
- BO Biotite
- FP Feldspath
- GP Graphite
- HB Hornblende
- MG Magnésite
- PG Plagioclase
- PX Pyroxène
- OZ Quartz

SYMBOLES CONVENTIONNELLS

- a b Affaiblissement (a) grand; (b) petit
- c Contour géologique: (a) incertain; (b) début de levés géophysiques; (c) existence présumée
- d Stratification avec sommet non déterminé: (a) incliné; (b) verticale; (c) pendage non mesuré
- e Stratification avec sommet déterminé: (a) incliné; (b) renversé; (c) pendage non mesuré; (d) pendage non mesuré
- f Schistose S₁: (a) incliné; (b) verticale; (c) pendage non mesuré
- g Schistose S₂: (a) incliné; (b) verticale; (c) pendage non mesuré
- h Schistose S₃: (a) incliné; (b) verticale; (c) pendage non mesuré
- i Foliation verticale
- j Plan axial vertical
- k l Linéation: (a) surface S₁; (b) surface S₂; (c) surface S₃
- m Plié localement: (a) dextre; (b) symétrique
- n Joint et diaclase: (a) incliné; (b) vertical
- o Veine: (a) incliné; (b) verticale
- p Cisaillement avec pendage non mesuré
- q Faille régulière: (a) pendage non connu; (b) avec sens du décrochement
- r Ph: (a) antiforme; (b) synformale; (c) antiforme synformale; (d) synforme antiforme
- s Puits d'exploitation: (a) vertical; (b) abandonné
- t Forage: (a) incliné; (b) vertical
- u Localisation et désignation d'une fiche de grille
- v Courbes de niveau et cotes en pieds au-dessus du niveau de la mer (2156 ft)
- w Courbes de niveau et cotes en mètres au-dessus du niveau de la mer (2156 m C.D.B.)

DÉCLINAISON MAGNÉTIQUE

La déclinaison magnétique au centre de la feuille en 1983 est de 17°50' ouest avec une variation annuelle de 1,5" vers l'est.

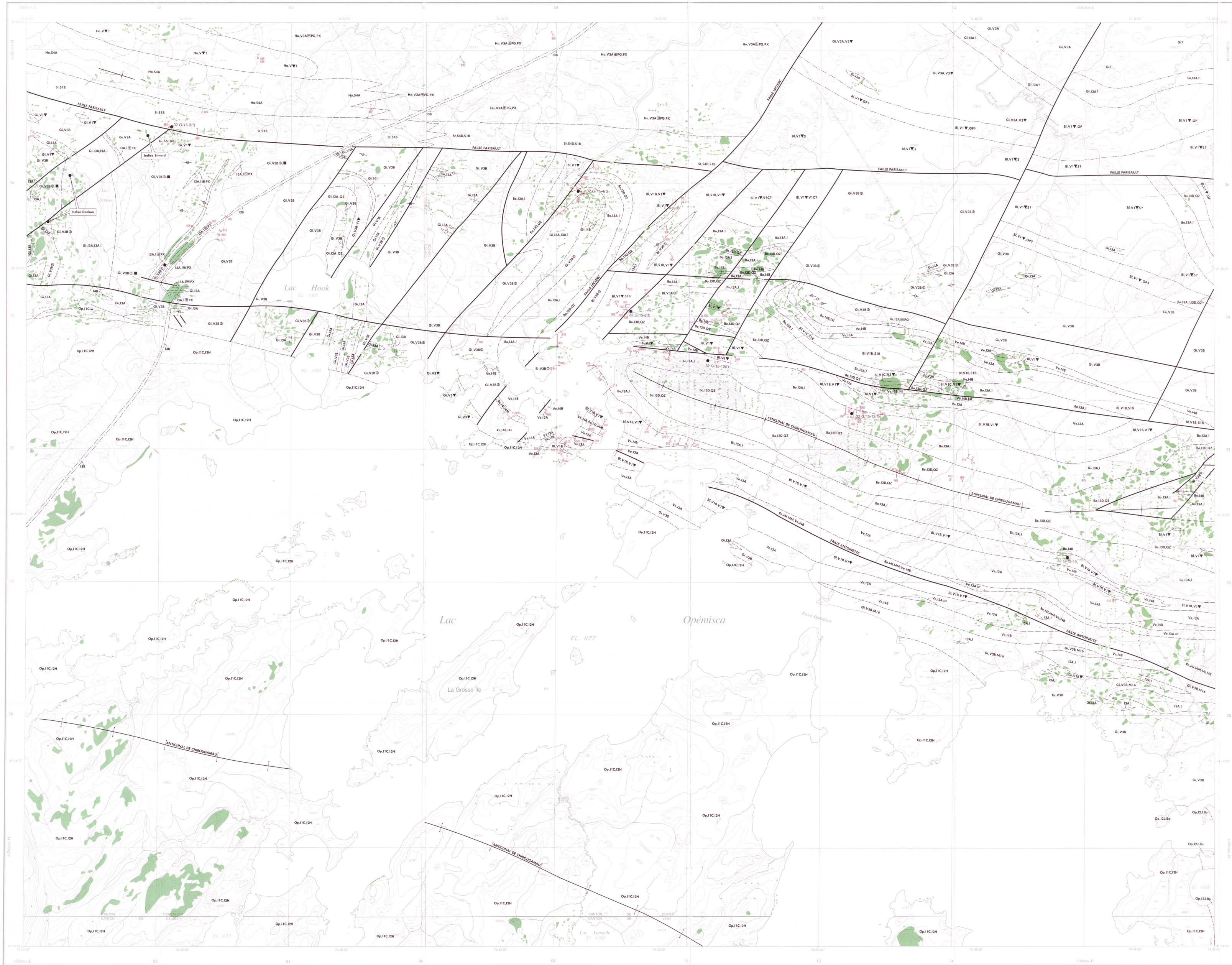
Echelle 1:20 000

GÉOLOGIE DE LA RÉGION DE CHAPAIS

FEUILLE LAC CHAPAIS
32 G/15-200-0102

Géologie par: RÉMY MORIN, 1988 et 1989

MM 91-02
(Carte no 2156 C)



LITHOSTRATIGRAPHIE

PROTÉROZOÏQUE

ROCHES INTRUSIVES

- 138 DYKE DE DIABASE

ARCHÉEN

ROCHES INTRUSIVES

- Op PLUTON D'OPÉMISCA
- 11C Granodiorite
- 12H Monodiorite à monodiorite quartaire
- Li INTRUSIONS DU LAC TRENHOLME
- 13A Gabbro
- 14 INTRUSIONS DU LAC SPRINGER
- 13A.1 Leucogabbro
- 14B Pyroxénite et gabbro pyroxénitique
- Rv PLUTON DE RUSH
- 11D Tonalité
- Pi PLUTON DE PRESQU'ÎLE
- 11D Tonalité
- Ch PLUTON DE CHIROUGAMAU
- 11D Tonalité et leucotonalite
- 121 Diorite quartzifère
- 122 Diorite et melanodiorite

GRUPE D'OPÉMISCA

- Hu FORMATION D'HADY
- VV Tuf (non différencié)
- V2V5 Tuf à blocs matiques
- V3A Andésite-basalte
- 54A Conglomérat monogénique
- VV Tuf chertueux
- 51E Gres lithique
- 54E Argilite
- 13A Gabbro
- 51 Diorite
- 51E Gres lithique
- 54D Conglomérat polygénique
- 518 Gres feldspathique
- 51E Gres lithique
- 54E Argilite
- Da FORMATION DE DAUBRIÉE
- 53C Wackes feldspathiques
- 52C Arkose
- V1V Tuf felsique

DISCORDANCE

ROCHES INTRUSIVES

- Cc COMPLEXE DE CUMMINGS
- Ba Filon-couche de Bourbeau
- 122 Diorite
- 121.02 Diorite à quartz
- 130.02 Ferrogabbro à quartz
- 13A.1 Leucogabbro
- 14B Pyroxénite
- Va Filon-couche de Ventures
- 122 Diorite
- 13A Gabbro
- 14B Pyroxénite
- Ra Filon-couche de Roberge
- 14B Pyroxénite
- 14E Pénodite
- 14M Dumite
- Ch COMPLEXE DE LAC DORÉ
- 11H Granophyre
- 13A Gabbro à gabbro anorthositique
- 13D Ferrogabbro
- 14B Pyroxénite
- 13C Anorthosite

SYMBOLES STRUCTURAUX, TEXTURAUX ET AUTRES

- Coussure
- ⊥ Étalement des coussins
- Folie
- Massif
- ▣ Porphyrique (> 40%)
- ▢ Porphyrique (< 40%)
- ⋆ Variolites
- △ Bricolforme
- ▽ Tuf à blocs
- ▽ Tuf feldspathique
- ▽ Tuf à lapillis
- BO Boîte
- FP Faldaquin
- GP Graphitex
- HB Horstbende
- MG Magnétite
- PG Pégmatite
- FX Pyroxène
- OZ Quartz

SYMBOLES CONVENTIONNELS

- a Affaissement; ai grand; bi petit
- c Contour géologique; ai incertain; bi début de levés géophysiques; c) existence présumée
- d Stratification avec sommet non déterminé; ai incliné; bi verticale; c) pendage non mesuré
- e Stratification avec sommet déterminé; ai incliné; bi renversée; c) verticale; d) pendage non mesuré
- f Schistosité S₁; ai incliné; bi verticale; c) pendage non mesuré
- g Schistosité S₂; ai incliné; bi verticale; c) pendage non mesuré
- h Schistosité S₃; ai incliné; bi verticale; c) pendage non mesuré
- i Foliation verticale
- j Plan axial vertical
- k Lignation; ai surface S₁; bi surface S₂; c) surface S₃; d) l

DECLINAISON MAGNÉTIQUE

La déclinaison magnétique au centre de la feuille en 1993 est de 17°45' ouest avec une variation annuelle de 3,3' vers l'est.

Échelle 1:20 000

400 0 400 800 1200 Mètres

GÉOLOGIE DE LA RÉGION DE CHÉPAÏS

FEUILLE LAC CHÉPAÏS
32 G/15-200-0201

Géologie par RÉMY MORIN, 1988 et 1989

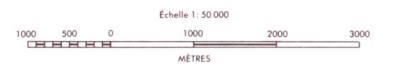
MM 91-02
(Carte au 1:50 000)

**COUPES STRUCTURALES
DE LA RÉGION DE
CHAPAIS**

FEUILLE DE CHAPAIS
32 G/15

Géologie par: RÉMY MORIN, 1988 et 1989

MM 91-02
(Carte no 2156 F)



**LITHOSTRATIGRAPHIE
ARCHÉEN**

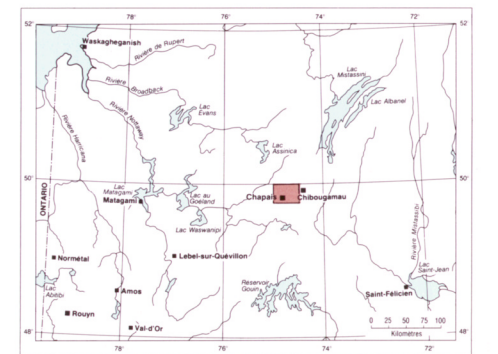
- ROCHES INTRUSIVES**
- Op** PLUTON D'OPÉMISCA: granodiorite; monzodiorite à monzodiorite quartzifère
 - Ru** PLUTON DE RUSH: tonalite
 - Chi** PLUTON DE CHIROUGAMAU: tonalite et leucotonalite; diorite quartzifère; diorite et méladiorite
- GROUPE D'OPÉMISCA**
- Ma** FORMATION D'HALVY: tuf (non différencié), tuf à blocs mafiques; andésite; basalte; conglomérat monogénique; tuf chertueux; grès lithique; argille; gabbro
 - St** FORMATION DE STELLA: conglomérat polygénique; grès felspathique; grès lithique; argille
- Discordance**

- ROCHES INTRUSIVES**
- Cc** COMPLEXE DE CUMMINGS
Filon-couche de Bourbeau: diorite à quartz; ferrogabbro à quartz; leuco-gabbro; pyroxénite
Filon-couche de Ventures: gabbro; pyroxénite
Filon-couche de Roberge: pyroxénite; péridote; dunite
 - Cld** COMPLEXE DE LAC DORÉ: granophyre; gabbro à gabbro anorthositique; ferrogabbro; pyroxénite; anorthosite
- GROUPE DE ROY**
- Bd** FORMATION DE BORDELEAU: arénite felspathique et conglomérat polygénique
 - FORMATION DE BLONDEAU: rhyolite; rhyodacite; roches volcaniques mafiques (non différenciées); andésite; andésite basaltique; basalte; tuf chertueux; tuf felsique; gabbro; diorite; grès felspathique; sédiment; grès; argille
 - Gi** FORMATION DE GILMAN: andésite; basalte-andésite; tuf mafique; tuf felsique; rhyolite; gabbro; amphibolite; diorite; argille; grès lithique
 - Wo** FORMATION DE WACONICH: tuf felsique; rhyodacite massive; rhyolite massive
 - Ob** FORMATION D'OBATOGAMAU: basalte porphyrique; gabbro; rhyolite; tuf mafique

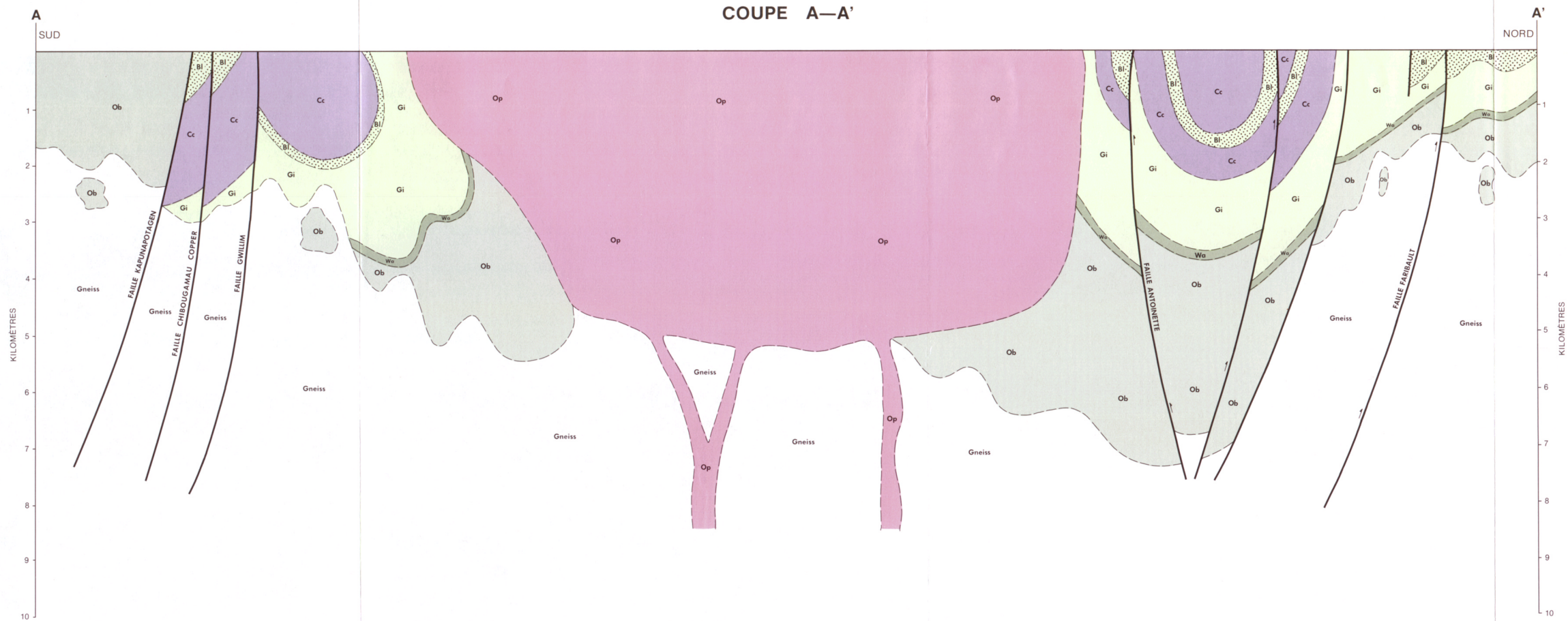
SYMBOLES

- Contour géologique incertain
- Faïlle régionale: a) pendage non connu; b) avec sens du décrochement

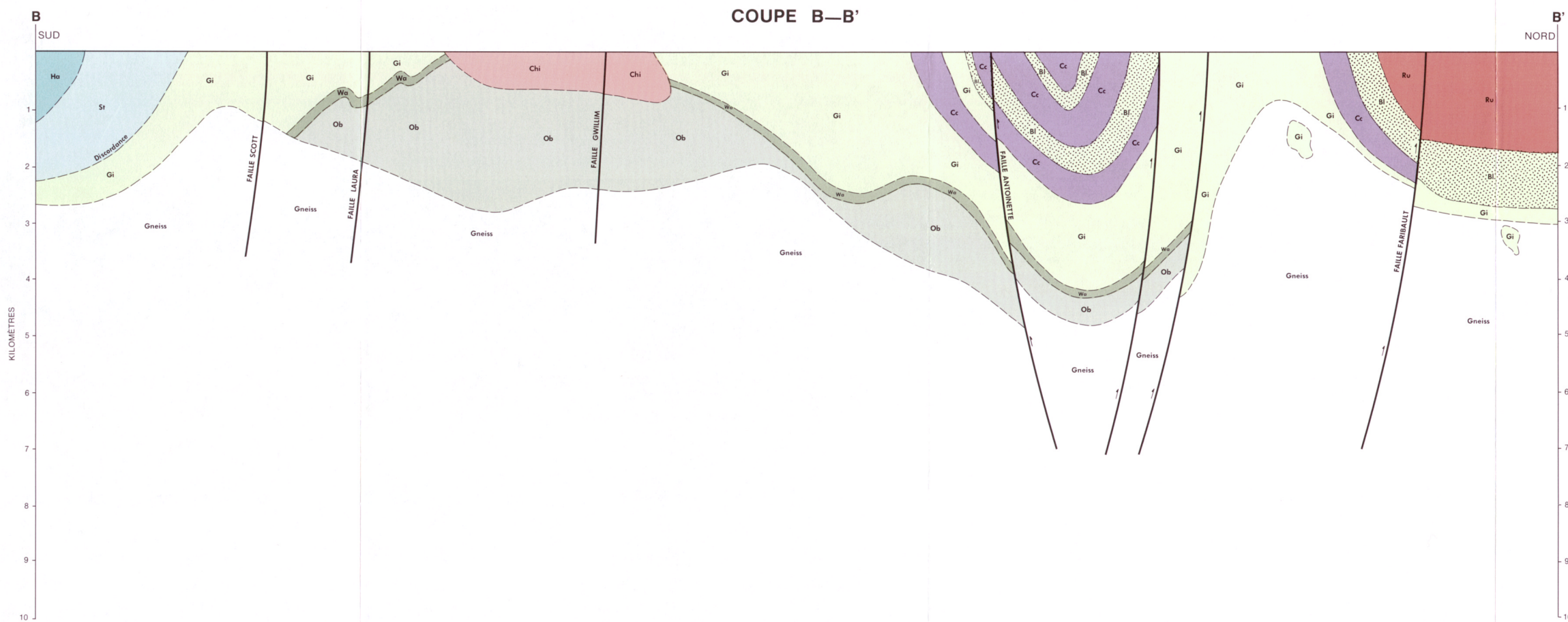
NOTE: voir la localisation des coupes sur la carte n° 2156 A



COUPE A—A'



COUPE B—B'



COUPE C—C'

